

MUSTERERKENNUNG

Vorlesung im Sommersemester 2017

Prof. E.G. Schukat-Talamazzini

Stand: 6. März 2017

Teil II

Diskretisierung

Aufgabenstellung

Schallwellen — Geräusch, Klang, Sprache

Licht und Farbe

Abtastung

Quantisierung

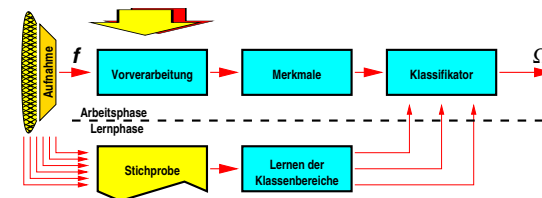
Binarisierung

Sonstige Codierer

Mathematische Hilfsmittel

Vorverarbeitung des Musters

Muster \mapsto Digitalrechner \mapsto „schöneres“ Muster



Ziele

A/D-Wandlung
Datenreduktion
Störunterdrückung
Informationsfilterung

1. Diskretisierung

Sensordaten \rightsquigarrow maschinenlesbare (endliche!) Form

Diskretisierung des

$\left\{ \begin{array}{l} \text{Definitionsbereichs (Abtastung)} \\ \text{Wertebereichs (Quantisierung)} \end{array} \right\}$

2. Transformation

Diskretisiertes Muster \rightsquigarrow diskretisiertes Muster

Vorverarbeitung \Rightarrow Informationsverlust

Reproduzierbarkeit des Originals aus dem Resultat ?

Gütekriterien

Exakte Reproduktion
Perzeptuelle Äquivalenz
Semantische Äquivalenz

Aufgabenstellung

Schallwellen — Geräusch, Klang, Sprache

Licht und Farbe

Abtastung

Quantisierung

Binarisierung

Sonstige Codierer

Mathematische Hilfsmittel

Schallwelle als Zeitsignal

Schalldruck, Amplitude $f : \mathbb{R} \rightarrow \mathbb{R}$

Definition

Sei $f : \mathbb{R} \rightarrow \mathbb{R}$ eine Schallwelle und $[t_0, t_1] \subset \mathbb{R}$. Dann heißt

$$E \stackrel{\text{def}}{=} \int_{t_0}^{t_1} f^2(t) dt$$

die **Schallenergie** und

$$I_s \stackrel{\text{def}}{=} \frac{1}{t_1 - t_0} \cdot \int_{t_0}^{t_1} f^2(t) dt$$

der **Schallpegel** (oder Intensität, in N/m^2 bzw. Pascal) des Schalls f im Intervall $[t_0, t_1]$. Die Größen

$$I = \frac{I_s}{I_0} \quad \text{bzw.} \quad \ell = 10 \log_{10} \frac{I_s}{I_0}$$

bezeichnen wir als (logarithmierte, in Dezibel [dB]) **Lautstärke**.

- 0dB: Standardpegel I_0 etwas unterhalb der Hörschwelle
- 3dB: diese Zunahme entspricht einer Pegelverdopplung

[mehr Information](#)

Schallwellen

Geräusch, Klang, Sprache

Physikalische Substanz

Zeitlicher Verlauf des Schalldrucks

Schallquelle und -sensor

Spektralzerlegung

Stationäres Signal = Wellensalat reiner (Sinus-)Töne

Frequenz, Amplitude, Phasenverschiebung

Physikalischer Reiz physiologische Wahrnehmung

Schallintensität (Signaleigenschaft)

Lautstärkeempfindung (tonhöhenabhängig)

Mustererkennung als Funktionsmodell ?

„Ein Flugzeug schlägt nicht mit den Flügeln ...“

Reine Sinustöne

Wiederholrate · maximale Auslenkung · Zeitverschiebung

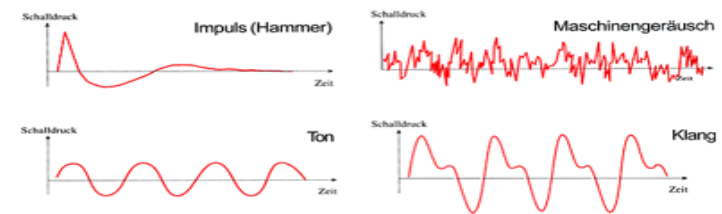
Definition

Die Schallwelle

$$f(t) = A \cdot \sin(2\pi\omega t + \phi)$$

heißt **reiner Ton** mit der **Amplitude** A , der **Schwingungsfrequenz** ω und dem **Phasenwinkel** ϕ .

- Amplitude in Pascal oder Dezibel (N/m^2 , dB)
- Frequenz in Hertz (1/s)
- Phase in Radian ($\phi \in [0, 2\pi]$)



Spektralzerlegung

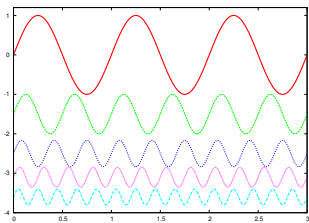
Überlagerung von Sinuskomponenten unterschiedlicher Frequenz

Definition

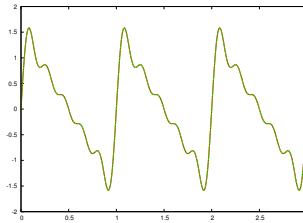
Die Darstellung

$$f(t) = \int_0^\infty A_\omega \cdot \sin(2\pi\omega t + \phi_\omega) d\omega$$

heißt **Spektralzerlegung** des reellwertigen Signals f . Die frequenzabhängigen Funktionen $\{A_\omega\}$ und $\{\phi_\omega\}$ heißen **Amplitudenspektrum** bzw. **Phasenspektrum** von f .



$$\omega^{-1} \cdot \sin(2\pi\omega t), \omega = 1, \dots, 5$$



$$\sum_1^5 \omega^{-1} \cdot \sin(2\pi\omega t)$$

Aufgabenstellung

Schallwellen — Geräusch, Klang, Sprache

Licht und Farbe

Abtastung

Quantisierung

Binarisierung

Sonstige Codierer

Mathematische Hilfsmittel

Lautstärkeempfindung & Hörebene

Subjektiver Eindruck des Menschen ist *frequenzabhängig*!

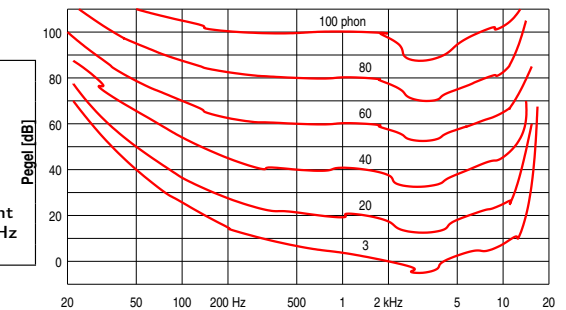
Definition der Phonzahl

\tilde{f} sei ein 1kHz-Schall gleicher subjektiver Lautstärke wie f .

$$\ell(f) [\text{phon}] \stackrel{\text{def}}{=} \begin{cases} \text{Pegel}(f) & \omega = 1000 \text{ Hz} \\ \text{Pegel}(\tilde{f}) & \omega \neq 1000 \text{ Hz} \end{cases}$$

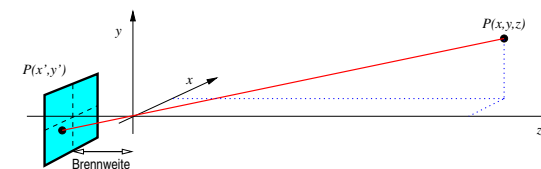
Beispielschallpegel

140 dB	Gewehrschuß nahebei
120 dB	lautstarke Rockgruppe
100 dB	Geschrei nahebei
80 dB	belebte Straße
70 dB	normale Unterhaltung
50 dB	leise Unterhaltung
30 dB	sanftes Flüstern
20 dB	ländliche Gegend/Nacht
6 dB	Hörschwelle bei 1000 Hz
0 dB	Referenzpegel



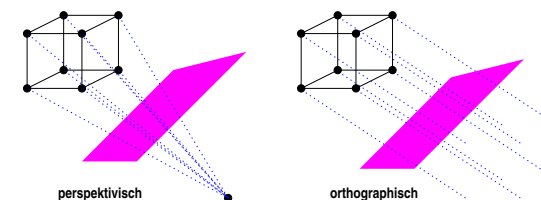
Kameraaufnahme

Vom Objekt zum Lichtermeer



Lochkameramodell

Aufnahme: $\mathbb{R}^3 \rightarrow \mathbb{R}^2$
Informationsverlust
(Verdeckung)

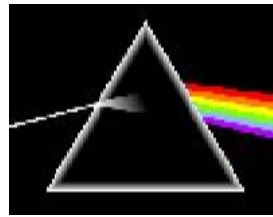
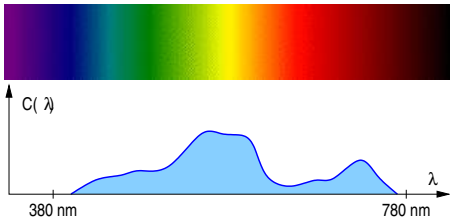


Projektion

Lineare Abbildung
Homogene Abbildung

Was ist Farbe ?

Farbe ist ein (elektromagnetischer) Wellensalat



Definition

Einen Strahlungsenergieverlauf $C : [\lambda_{\min}, \lambda_{\max}] \rightarrow \mathbb{R}$ im Frequenzbereich des sichtbaren Lichts bezeichnen wir als **Farbe**. Farben der speziellen Gestalt

$$C(\lambda) = C_{\mu}^{\text{mono}}(\lambda) \stackrel{\text{def}}{=} \delta(\lambda - \mu)$$

heißen **monochromatisch**.

- **Genauer:** es ist $C(\lambda) = F'(\lambda)$, und es ist $F'(\lambda)d\lambda$ die **Strahlungsenergie** im Wellenlängenbereich $[\lambda, \lambda + d\lambda]$ in Watt.

Colorimetrie

Darstellung in Farbräumen endlicher Dimension

Empirische Wahrn.-Psychologie: Tristimulusdarstellung

- Die meisten Farben lassen sich (wahrnehmungsäquivalent) als Linearkombination geeigneter **Primärfarben** erzeugen, z.B. $C_r^{\text{prim}}, C_g^{\text{prim}}, C_b^{\text{prim}}$
- Die erzeugenden Koeffizienten werden durch Wahrnehmungstest bestimmt.
- Beispiel **Standardweiß**: $C_W \stackrel{\text{pz}}{=} w_r C_r^{\text{prim}} + w_g C_g^{\text{prim}} + w_b C_b^{\text{prim}}$
- Betrachte **weißnormierte** Primärfarben, d.h. es gilt $C_W \stackrel{\text{pz}}{=} C_r^{\text{prim}} + C_g^{\text{prim}} + C_b^{\text{prim}}$ (und damit $w_r = w_g = w_b = 1$).

Definition

Bezogen auf ein weißnormales Primärfarbensystem $\{C_r^{\text{prim}}, C_g^{\text{prim}}, C_b^{\text{prim}}\}$ heißen die Koeffizienten in

$$C(\lambda) \stackrel{\text{pz}}{=} a_r C_r^{\text{prim}}(\lambda) + a_g C_g^{\text{prim}}(\lambda) + a_b C_b^{\text{prim}}(\lambda)$$

die **Tristimuluswerte** der Farbe C .

Subjektive Helligkeit eines Lichtpunkts

Menschliche Helligkeitsempfindung ist *wellenlängenabhängig*

Definition

Sei $C(\lambda) = F'(\lambda)$ der Strahlungsenergieverlauf einer Lichtquelle. Der **Lichtstrom** (in **Lumen**) ist definiert durch

$$F \stackrel{\text{def}}{=} K^* \cdot \int_0^{\infty} K_{\lambda} \cdot C(\lambda) d\lambda$$

Er gibt die von einem Standardbeobachter wahrgenommene Helligkeit einer Lichtquelle an.

Photometrische Standards

1. Die Gewichtsfunktion $(K_{\lambda})_{\lambda \in \mathbb{R}}$ ist ein CIE-Standard. (CIE = *Commission Internationale de l'Eclairage*)
2. Die Konstante lautet $K^* = (\int K_{\lambda} d\lambda)^{-1} = 683 \text{ [lm/W]}$.
3. Der sichtbare Bereich farbigen Lichts liegt zwischen $\lambda = 380\text{nm}$ und $\lambda = 780\text{nm}$.

Farbvergleichskurven

Kurve der Tristimuluswerte über alle monochromatischen Farben

Definition

Die Gewichtsfunktionen $\alpha_r()$, $\alpha_g()$, $\alpha_b()$ mit

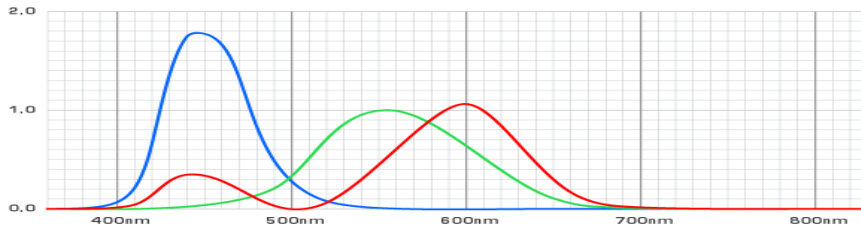
$$C_{\mu}^{\text{mono}}(\lambda) \stackrel{\text{pz}}{=} \sum_{r,g,b} \alpha_x(\mu) \cdot C_x^{\text{prim}}(\lambda)$$

für jede monochromatische Farbe C_{μ}^{mono} heißen **Farbvergleichskurven** (bezüglich $\{C_r^{\text{prim}}, C_g^{\text{prim}}, C_b^{\text{prim}}\}$).

- CIE-Standard von 1931 \rightsquigarrow drei monochromatische Primärfarben **ROT** ($\lambda = 700\text{nm}$), **GRÜN** ($\lambda = 546.1\text{nm}$), **BLAU** ($\lambda = 435.8\text{nm}$)

Farbvergleichskurven

Wahrnehmungstreue Reproduzierbarkeit



Lemma

In einem weißnormalen Primärfarbensystem gilt für jede Farbe $C(\lambda)$ die Tristimulusdarstellung

$$C(\lambda) \stackrel{\text{pz}}{=} \sum_{r,g,b} \beta_x \cdot C_x^{\text{prim}}(\lambda)$$

mit den (drei) Koeffizienten $\beta_x = \int_0^\infty \alpha_x(\mu) \cdot C(\mu) d\mu$ für $x = r, g, b$.

Beweis.

$$\begin{aligned} \sum_x \beta_x \cdot C_x^{\text{prim}}(\lambda) & \quad \text{das sollte } = C(\lambda) \text{ sein!} \\ &= \sum_x \left\{ \int_0^\infty \alpha_x(\mu) C(\mu) d\mu \right\} \cdot C_x^{\text{prim}}(\lambda) \quad \text{einsetzen für } \beta_x \\ &= \int_0^\infty C(\mu) \cdot \left\{ \sum_x \alpha_x(\mu) \cdot C_x^{\text{prim}}(\lambda) \right\} d\mu \quad \sum \int = \int \sum \\ &\stackrel{\text{pz}}{=} \int_0^\infty C(\mu) \cdot C_\mu^{\text{mono}}(\lambda) d\mu \quad \text{Def. der Farbvergleichskurven } \alpha_x(\cdot) \\ &= \int_0^\infty C(\mu) \cdot \delta_{\lambda-\mu} d\mu \quad \text{monochromatische Farben} \\ &= C(\lambda) \quad \text{der tödliche Diracstoß} \end{aligned}$$

□

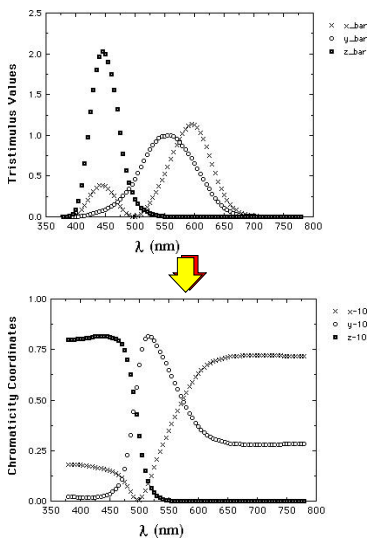
Bemerkung

Die Wahrnehmungsgleichheit $\stackrel{\text{pz}}{=}$ ist im Gegensatz zu $=$ keine Äquivalenzrelation; es gilt nämlich i.a. **nicht** die Transitivität $a \stackrel{\text{pz}}{=} b \wedge b \stackrel{\text{pz}}{=} c \Rightarrow a \stackrel{\text{pz}}{=} c$.

In oben angegebener Herleitung tritt aber glücklicherweise nur **eine** perzeptionelle Gleichheit auf.

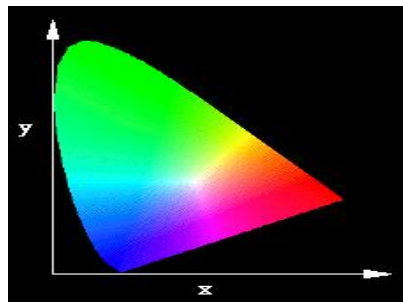
Chromatizitätskoordinaten

Bezüglich Helligkeit normierte Tristimuluswerte



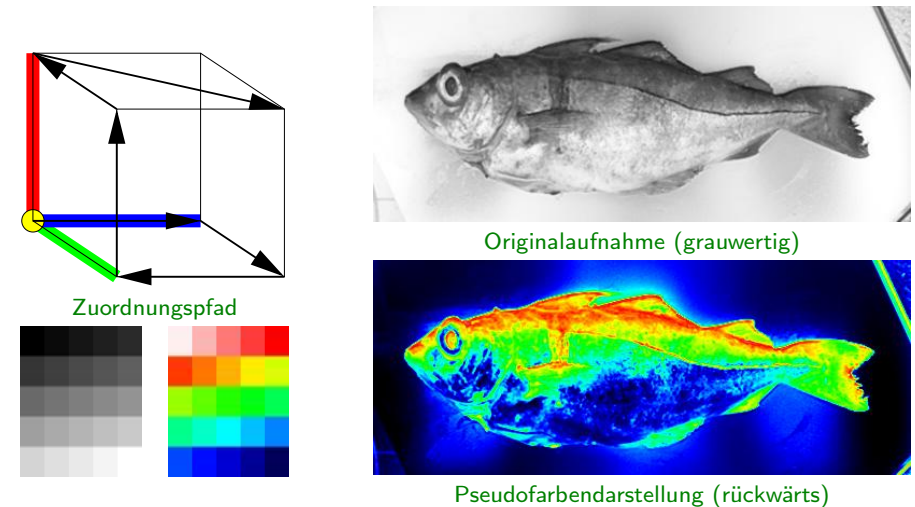
$$\phi: \mathbb{R}^3 \rightarrow \mathbb{R}^3 \cong \mathbb{R}^2 \text{ mit}$$

$$\begin{pmatrix} r \\ g \\ b \end{pmatrix} = \frac{1}{R+G+B} \cdot \begin{pmatrix} R \\ G \\ B \end{pmatrix}$$



Falsch-, besser: Pseudofarbendarstellung

Grauwert-Farbwert-Transformation $\phi: [0, 1] \rightarrow [0, 1]^3$



Aufgabenstellung

Schallwellen — Geräusch, Klang, Sprache

Licht und Farbe

Abtastung

Quantisierung

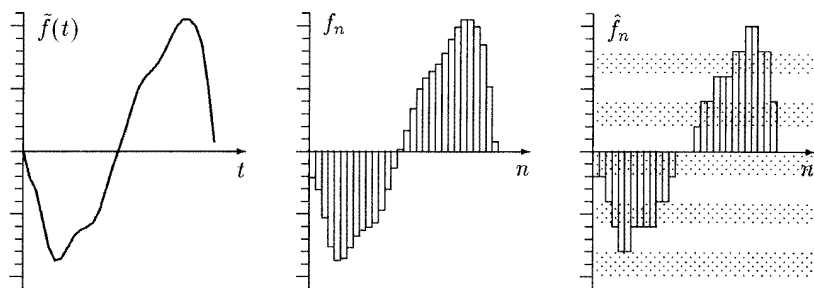
Binarisierung

Sonstige Codierer

Mathematische Hilfsmittel

Diskretisierung = Abtastung & Quantisierung

Analog-Digital-Wandlung (A/D)^[7]



Abtastung

- Abtastperiode T [s]
- Abtastfrequenz $f_A = 1/T$ [Hz]
- Stützstellen $\{nT \mid n \in \mathbb{Z}\}$
- Abtastwerte $f_n = \tilde{f}(nT)$, $n \in \mathbb{Z}$

➡ Speicherbedarf = $f_A \cdot b$ [bit/s]

Quantisierung

- Wertebereich $[-f_{\max}, +f_{\max}] \subset \mathbb{R}$
- Kodierung mit b bit
- 2^b Intervalle $\mathcal{I}_\nu = [a_{\nu-1}, a_\nu]$
- Intervallbreite $\Delta_Q = 2f_{\max}/2^b$

Diskretisierung

Endliche rechnerinterne Repräsentation eines Musters

$$f(\mathbf{x}) = \begin{pmatrix} f_1(x_1, x_2, \dots, x_n) \\ \textcolor{red}{f_2}(x_1, x_2, \dots, x_n) \\ \vdots \\ f_m(x_1, \textcolor{red}{x_2}, \dots, x_n) \end{pmatrix}$$

Problem

kontinuierlicher Definitionsbereich

(Orte/Zeiten $x_j \in \mathbb{R}$)

kontinuierlicher Wertebereich

(Amplituden $f_i \in \mathbb{R}$)

Lösung

Amplitudenmessung nur an endlich vielen **Stützstellen**

Amplitudenwerte nur als **Festkommagrößen** darstellen

CODEC — Kodierer / Dekodierer

Paradigma der Digitalen Signalverarbeitung (DSV/DSP)

Diskretisierung und Rekonstruktion



Fragestellungen

Wieviele Abtastwerte?

Welche Schrittweite?

Wieviele Quantisierungsstufen?

Welche Quantisierungskennlinie?

Abtastung bandbegrenzter Zeitsignale

Obergrenze B für die Frequenzen auftretender Spektralkomponenten

Definition

Sei $f : \mathbb{R} \rightarrow \mathbb{C}$ eine Zeitfunktion und

$$F(\xi) \stackrel{\text{def}}{=} \int_{-\infty}^{+\infty} f(x) e^{-i\xi x} dx, \quad \xi \in \mathbb{R}$$

ihre Fouriertransformierte. Die Funktion f heißt **bandbegrenzt im Frequenzbereich** $(-B, B)$, wenn für alle $|\xi| > 2\pi B$ die Aussage $F(\xi) = 0$ gilt.

Satz (Abtasttheorem von Shannon)

Sei $f : \mathbb{R} \rightarrow \mathbb{R}$ bandbegrenzt im Frequenzbereich $(-B, B)$ und $0 < \Delta_x \leq \frac{1}{2B}$. Dann ist f vollständig durch seine Abtastwerte $f_j := f(j \cdot \Delta_x)$, $j = 0, \pm 1, \pm 2, \dots$ bestimmt und die Rekonstruktionsgleichung lautet

$$f(x) = \sum_{j=-\infty}^{+\infty} f_j \cdot \text{sinc}\left(\pi \cdot \frac{x - j\Delta_x}{\Delta_x}\right)$$

wobei $\text{sinc}(r) \stackrel{\text{def}}{=} \sin(x)/x$ vereinbart sei.

Beweis (2)

Wir berechnen $f(x)$ aus dem Umkehrintegral der Fouriertransformierten. Dabei betrachten wir $F(\xi)$ als eine Periode einer (gedanklich) periodisch fortgesetzten Funktion und entwickeln $F(\xi)$ in eine Fourierreihe mit den Koeffizienten:

$$\begin{aligned} a_j &= \frac{1}{2\xi_0} \cdot \int_{-\xi_0}^{+\xi_0} F(\xi) e^{-2\pi i \cdot \frac{j\xi}{2\xi_0}} d\xi \\ &= \frac{1}{2\pi \xi_0} \cdot \int_{-\xi_0}^{+\xi_0} F(\xi) e^{i\xi \cdot \frac{-j\pi}{\xi_0}} d\xi \\ &= f\left(\frac{-j\pi}{\xi_0}\right) \cdot \frac{\pi}{\xi_0} \\ &= f(-j\Delta_x) \cdot \Delta_x \quad \text{mit } \Delta_x = \frac{1}{2B} = \frac{\pi}{\xi_0} \end{aligned}$$

Damit ergibt sich für $F(\xi)$ die Darstellung als Fourierreihe:

$$\begin{aligned} F(\xi) &= \sum_{j=-\infty}^{+\infty} a_j e^{2\pi i \cdot \frac{j\xi}{2\xi_0}} \\ &= \sum_{j=-\infty}^{+\infty} f(-j\Delta_x) e^{ij\xi\Delta_x} \Delta_x \\ &= \sum_{j=-\infty}^{+\infty} f(j\Delta_x) e^{-ij\xi\Delta_x} \Delta_x \end{aligned}$$

Beweis (1)

Fouriertransformationen vor und zurück:

$$\begin{aligned} F(\xi) &= \int_{-\infty}^{+\infty} f(x) e^{-i\xi x} dx \\ f(x) &= \frac{1}{2\pi} \cdot \int_{-\infty}^{+\infty} F(\xi) e^{i\xi x} d\xi \end{aligned}$$

Fourierreihe einer Funktion, die in $(-\xi_0, +\xi_0)$ periodisch ist:

$$\begin{aligned} F(\xi) &= \sum_{j=-\infty}^{+\infty} a_j e^{2\pi i \cdot \frac{j\xi}{2\xi_0}} \\ a_j &= \frac{1}{2\xi_0} \cdot \int_{-\xi_0}^{+\xi_0} F(\xi) e^{-2\pi i \cdot \frac{j\xi}{2\xi_0}} d\xi \end{aligned}$$

Beweis (3)

Wir setzen $F(\xi)$ in das Umkehrintegral für $f(x)$ ein:

$$\begin{aligned} f(x) &= \frac{1}{2\pi} \cdot \int_{-\xi_0}^{+\xi_0} \underbrace{\left(\sum_{j=-\infty}^{+\infty} f(j\Delta_x) e^{-ij\xi\Delta_x} \Delta_x \right)}_{F(\xi)} e^{i\xi x} d\xi \\ &= \frac{1}{2\pi} \cdot \sum_{j=-\infty}^{+\infty} f(j\Delta_x) \int_{-\xi_0}^{+\xi_0} e^{i\xi(x-j\Delta_x)} \Delta_x d\xi \\ &= \sum_{j=-\infty}^{+\infty} f(j\Delta_x) \cdot \frac{\Delta_x}{2\pi} \cdot \left[\frac{1}{i(x-j\Delta_x)} e^{i\xi(x-j\Delta_x)} \right]_{-\xi_0}^{+\xi_0} \\ &= \sum_{j=-\infty}^{+\infty} f(j\Delta_x) \cdot \frac{\Delta_x}{2\pi} \cdot \frac{2 \sin(\xi_0(x-j\Delta_x))}{x-j\Delta_x} \\ &= \sum_{j=-\infty}^{+\infty} f_j \cdot \frac{\sin(2\pi B(x-j\Delta_x))}{2\pi B(x-j\Delta_x)} \end{aligned}$$

Die letzte Zeile folgt wegen $\xi_0 = 2\pi B$, $\Delta_x = \frac{1}{2B}$ und $f(j\Delta_x) = f_j$, und die vorletzte Zeile wegen der Eulergleichung $e^{iy} = \cos y + i \sin y$.

Ist B die Bandbegrenzung in der Voraussetzung des Abtasttheorems, so gilt obige Darstellung für jedes $\Delta_x < \frac{1}{2B}$, weil dann $\Delta_x = \frac{1}{2B'}$ für ein $B' > B$ gilt und $f(x)$ natürlich auch B' -bandbegrenzt ist.

Abtasten mit doppelter Nyquist-Grenzfrequenz

Erfolgreich in der Theorie und in der Praxis ?

Theorie

Claude E. Shannon garantiert uns eine völlig verlustfreie Abtastwertrepräsentation **bandbegrenzter** Signale.

Praxis

Die Signale (Zeitreihen, Bilder) der realen Welt sind **nicht bandbegrenzt!**

Definition

Die Funktion $f : \mathbb{R} \rightarrow \mathbb{C}$ heißt **zeitbegrenzt** im Intervall $(-b, b)$ wenn gilt:

$$f(x) = 0 \quad \text{für alle } |x| > b$$

Fakt

Alle von Menschen und Maschinen gemessenen Sensorsignale sind zeit- bzw. ortsbegrenzt!

Fakt

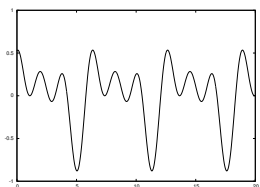
Das (unendlich) periodische Fortsetzen eines Signalintervalls erzeugt Unstetigkeiten an den Nahtstellen, zerstört also Frequenzbandbegrenzung!

Schallabtastung

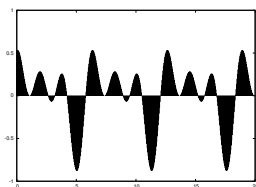
Existenz und Lage der Bandbegrenzung ist anwendungsabhängig

Beispielszenarien

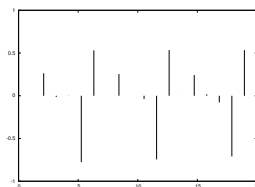
- Analogtelefon (300 Hz – 3.4 kHz) ATR = 8 kHz
- Sprache & HQ-Mikrofon ATR = 16 kHz
- Musik ATR = 44.1 kHz
- (analog vorgefiltert) ATR = ... kHz



Analogsignal

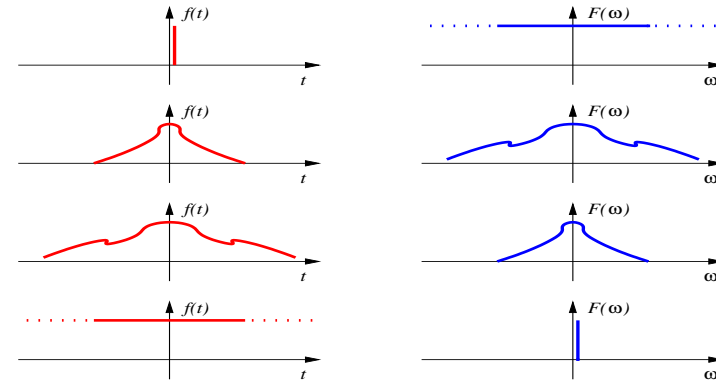


suffiziente Abtastung



Unterabtastung

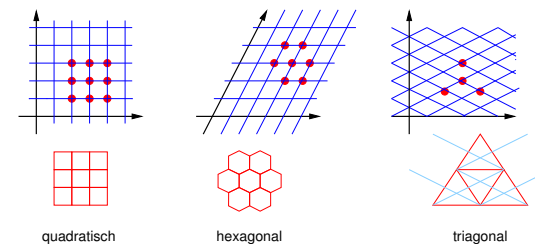
Unschärfeprinzip der Wellenlehre



Satz (Paley & Wiener 1934)

Es gibt (im Funktionenraum \mathcal{L}_2) keine Funktion außer der identisch verschwindenden Funktion, die sowohl bandbegrenzt wie auch zeitbegrenzt ist.

Bildrasterung



Quadratisches Gitter \rightsquigarrow 4/8-Nachbarschaft.

Hexagonale und tridiagonale Gitter besitzen „schönere“ Nachbarschaftsstruktur, aber kompliziertere Rasterpunktformeln.

Eindimensionale Muster (äquidistante Stützstellen)

$$\text{Abtastung}_{\Delta_x} : \begin{cases} \mathbb{R}^{[x_0, x_1]} & \rightarrow \mathbb{R}^J \\ \{f(x)\} & \mapsto \{f_j = f(x_0 + j\Delta_x)\} \end{cases}, \quad J = \frac{x_1 - x_0}{\Delta_x}$$

Zweidimensionale Muster (quadratisches Gitter)

$$\text{Rasterung}_{\Delta_x, \Delta_y} : \begin{cases} \mathbb{R}^{[x_0, x_1] \times [y_0, y_1]} & \rightarrow \mathbb{R}^{J_x \cdot J_y} \\ \{f(x, y)\} & \mapsto \{f_{j,k} = f(x_0 + j\Delta_x, y_0 + k\Delta_y)\} \end{cases}$$

Aufgabenstellung

Schallwellen — Geräusch, Klang, Sprache

Licht und Farbe

Abtastung

Quantisierung

Binarisierung

Sonstige Codierer

Mathematische Hilfsmittel

Quantisierungsfehler

Definition

Sei $\{f_j\}$ eine Abtastfolge und $\{f'_j\}$ das Ergebnis ihrer Quantisierung. Die Differenzfolge

$$n_j \stackrel{\text{def}}{=} f_j - f'_j$$

heißt **Quantisierungsrauschen**, das Erwartungswertverhältnis

$$r' = \frac{\mathcal{E}[f_j^2]}{\mathcal{E}[n_j^2]} \quad \text{bzw.} \quad r = 10 \cdot \log_{10} r'$$

wird als (logarithmiertes, in dB) **Signal-Rausch-Verhältnis** oder **Störabstand** bezeichnet ($\text{SNR} = \text{„signal-to-noise ratio“}$).

Bemerkung

Die Schreibweise der Energie als zweites Moment setzt **Mittelwertfreiheit** der beteiligten Signale voraus.

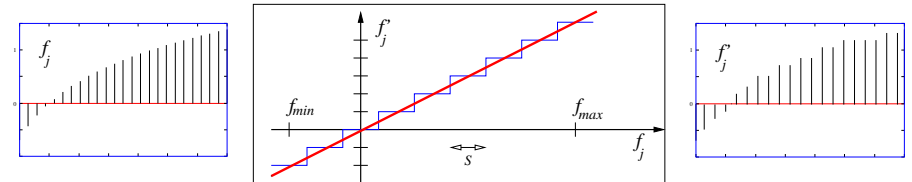
0 dB : Rauschenenergie = Nutzsignalenergie

6 dB : relative Steigerung/Senkung des Nutzpegels/Rauschpegels um den Faktor 2

20 dB : Nutzpegel zehnmal höher als Rauschpegel

Skalare Quantisierung

- Das Intervall $[f_{\min}, f_{\max}]$ wird mit 2^B Stufen quantisiert
- Reelle Werte werden mit ihrem Intervallindex kodiert (B bit/ATW)



lineare Quantisierung

Zerlegung in Teilintervalle gleicher Länge (s. Abb.)

nichtlineare Quantisierung

- Intervalle unterschiedlicher Länge
- Kompondierungsfunktion & lineare Quantisierung

Vektorquantisierung

Lineare Quantisierer

„Jedes Bit verbessert die SNR eines Quantisierers um etwa 6 dB “

Satz

Für einen linearen Quantisierer mit 2^B Quantisierungsstufen beträgt das Signal-Rausch-Verhältnis unter den im Beweis genannten

Voraussetzungen

$$r = 6B - 7.2 \quad [dB]$$

Idealisierte Voraussetzungen

1. kein Übersteuern: $f_j \in [f_{\min}, f_{\max}]$ für alle j
2. Amplitudenkonzentration wie $\mathcal{N}(\mu, \sigma)$ oder besser: 4σ -Regel
3. näherungsweise uniformes Rauschen: Intervallzahl 2^B hinreichend groß

Folgerung

Mit $f_{\max} = -f_{\min} = C\sigma_f$ beträgt der SRA $r = 6B + 4.8 - 20 \log_{10} C$.

Beweis.

Es bezeichne $\Delta := (f_{\max} - f_{\min}) / 2^B$ die Schrittweite des Quantisierers.

Ist die Zahl 2^B der Quantisierungsstufen hinreichend groß und wird der Quantisierer niemals *übersteuert*, so dürfen wir den Quantisierungsfehler (das Rauschen) als näherungsweise gleichverteilt annehmen:

$$P(n_j) = \begin{cases} 1/\Delta & -\Delta/2 \leq n_j \leq \Delta/2 \\ 0 & \text{sonst} \end{cases}$$

Wegen $\mathcal{E}[n_j] = 0$ (Mittelwertfreiheit) besitzt der Quantisierungsfehler die Varianz

$$\mathcal{E}[n_j^2] = \int_{-\Delta/2}^{+\Delta/2} \frac{1}{\Delta} \cdot n_j^2 dn_j = \frac{\Delta^2}{12}$$

Sei nun o.B.d.A. unser Signal mittelwertfrei, d.h. $\mathcal{E}[f_j] = 0$. Die Intervallgrenzen

$$f_{\min} \stackrel{\text{def}}{=} -4\sigma_f, \quad f_{\max} \stackrel{\text{def}}{=} +4\sigma_f, \quad \sigma_f \stackrel{\text{def}}{=} \sqrt{\mathcal{E}[f_j^2]}$$

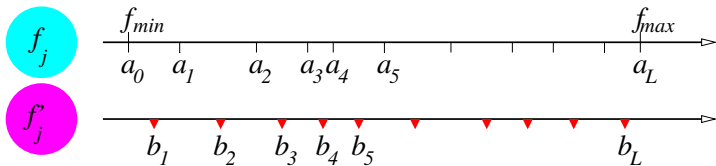
vermeiden fast sicher eine Übersteuerung des Quantisierers und implizieren die konkrete Schrittweite

$$\Delta = \frac{(+4\sigma_f) - (-4\sigma_f)}{2^B} = \frac{8\sigma_f}{2^B}$$

und den Störabstand (s.u.); die Logarithmierung von r' ergibt dann das erwünschte Resultat.

$$r' = \frac{\mathcal{E}[f_j^2]}{\mathcal{E}[n_j^2]} = \frac{\sigma_f^2}{\Delta^2/12} = \frac{12\sigma_f^2}{64\sigma_f^2/(2^B)^2} = \frac{12}{64} \cdot 2^{2B} = 12 \cdot 2^{2B-6}$$

Nichtlineare Quantisierer



Satz

Die optimale Quantisierungskennlinie, die den Verzerrungsfehler

$$\varepsilon_P = \sum_{\nu=1}^L \int_{a_{\nu-1}}^{a_{\nu}} (f - b_{\nu})^2 \cdot P(f) df$$

minimiert, ist durch die Gleichungen

$$a_{\nu} = \frac{b_{\nu} + b_{\nu+1}}{2} \quad \text{und} \quad b_{\nu} = \frac{\int_{a_{\nu-1}}^{a_{\nu}} f \cdot P(f) df}{\int_{a_{\nu-1}}^{a_{\nu}} P(f) df}$$

für $\nu = 1, 2, \dots, L-1$ bzw. $\nu = 1, 2, \dots, L$ gegeben.

Beispielszenarien

Quantisierung audiovisueller Daten

- **Bilder** — 1 Byte = 8 bit (ggf. je Farbkanal)
- **Sprache** — 8 bit für Telefonqualität
- **Audio** (CD/DAT) — 2×16 bit (1.41 Mb/s)
- **DAB** (Digital Audio Broadcasting) — 256 kb/s

TYP	SPEZIFIKATION	DATENRATE
Audio verständlich	8 kHz 1×8 bit	64 kbit/s
Audio MPEG-Codierung	44.1 kHz 2×16 bit	384 kbit/s
Audio CD/DAT	44.1 kHz 2×16 bit	1.41 Mbit/s (635 MB/h)
Video MPEG-2	24 bit/pel 640×480	0.42 MB/s
Video NTSC	24 bit/pel 640×480	27 MB/s
Video HDTV	24 bit/pel 1280×720	81 MB/s

Beweis.

Wir bilden die partiellen Ableitungen von ε_P nach b_{ν} und setzen sie gleich Null:

$$\frac{\partial \varepsilon_P}{\partial b_{\nu}} = \int_{a_{\nu-1}}^{a_{\nu}} -2 \cdot (f - b_{\nu}) \cdot P(f) df \stackrel{!}{=} 0$$

Daraus folgt auch schon die Bestimmungsgleichung für die b_{ν} .

Analog erhalten wir für die Intervallgrenzen a_{ν} :

$$\begin{aligned} \frac{\partial \varepsilon_P}{\partial a_{\nu}} &= \frac{\partial}{\partial a_{\nu}} \left[\int_{a_{\nu-1}}^{a_{\nu}} (f - b_{\nu})^2 \cdot P(f) df + \int_{a_{\nu}}^{a_{\nu+1}} (f - b_{\nu+1})^2 \cdot P(f) df \right] \\ &= (a_{\nu} - b_{\nu})^2 P(a_{\nu}) - (a_{\nu} - b_{\nu+1})^2 P(a_{\nu}) \\ &\stackrel{!}{=} 0 \end{aligned}$$

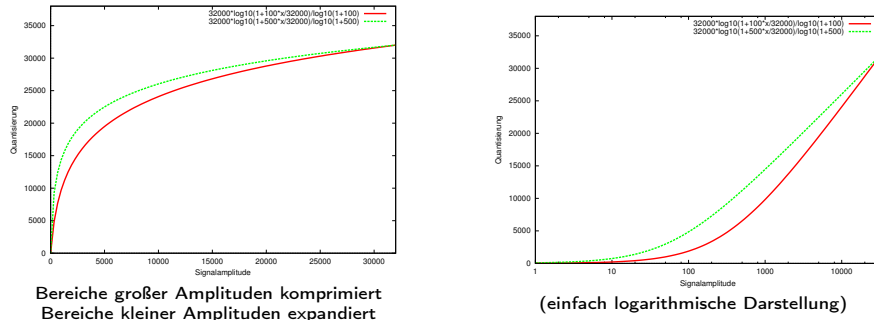
Auflösen nach a_{ν} ergibt das obere System von Bestimmungsgleichungen.

Im Beweis ist zu fordern, daß $P(a_{\nu}) \neq 0$ ($\forall \nu$) gilt.

Die Bestimmungsgleichungen des Satzes sind gekoppelt und daher nur für eine *iterative* Berechnung der Kennlinie zu verwenden.

Nichtlineare Quantisierung

Näherungsweise gleichverteilende Transformation + lineare Quantisierung



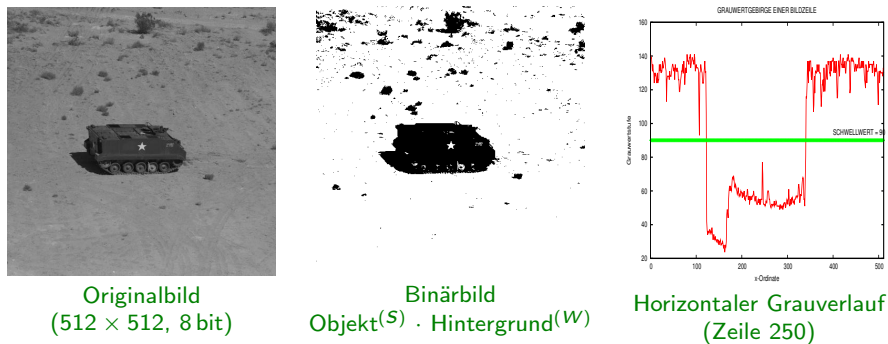
Das logarithmische Kompondierungsgesetz (μ -Law)

$$f'_j \stackrel{\text{def}}{=} f_{\max} \cdot \text{sign}(f_j) \cdot \frac{\log(1 + \mu \frac{|f_j|}{f_{\max}})}{\log(1 + \mu)}, \quad \mu \in 100 \dots 500$$

überführt betragsmäßig exponentiell verteilte Amplitudenwerte in eine Gleichverteilung.

Binarisierung von Grauwertbildern

Graustufen $\{0, 1, \dots, L-1\}$ \rightarrow Schwarz-Weiß-Codes $\{0, 1\}$



Binarisierung

- dient der Objekt-Hintergrund-Segmentierung
- gelingt wenn alle O-Punkte dunkler als alle H-Punkte
- gelingt wenn alle O-Punkte heller als alle H-Punkte
- erfordert i.a. Korrektur durch $\left\{ \begin{array}{l} \text{Nachbearbeitung} \\ \text{Vorverarbeitung} \end{array} \right\}$ des Binärbildes

Aufgabenstellung

Schallwellen — Geräusch, Klang, Sprache

Licht und Farbe

Abtastung

Quantisierung

Binarisierung

Sonstige Codierer

Mathematische Hilfsmittel

Binarisierung von Grauwertbildern

Objekt-Hintergrund-Entscheidung durch Schwellwertvergleich



Definition

Sei $\mathbf{f} : \mathcal{D} \rightarrow \{0, \dots, L-1\}$ ein Grauwertbild und θ ein Grauwert. Das Binärbild $\mathbf{f}^\theta : \mathcal{D} \rightarrow \{0, 1\}$ mit

$$f_{jk}^\theta = \begin{cases} 1 & f_{jk} > \theta \\ 0 & f_{jk} \leq \theta \end{cases}, \quad (j, k) \in \mathcal{D}$$

heißt **Binarisierung** von \mathbf{f} zum **Schwellwert** θ .

Binarisierung von Grauwertbildern

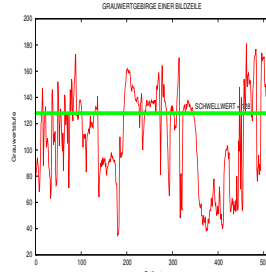
Funktioniert nicht immer & ist manchmal richtig schwierig



Originalbild
(512 × 512, 8 bit)



Binärbild
(Objekt: $f_{jk} \leq 128$)



Horizontaler Grauerlauf
(Zeile 250)

Einfache Objektansichten

- Finden eines optimalen Schwellwertes
- Vermeidung u/o Korrektur von Fehlzuordnungen
- *Trick 17*: Einfärben des Hintergrundes o.ä.

Komplexe Szenen

viele Objekte, Verdeckungen, problematische Beleuchtung, ...

Binarisierungsschwellwert

Kriterien zur Bestimmung aus dem Grauerthistogramm

Mittiger Grauwert

$$\theta = L/2$$

Histogramm-Minimum

$$\theta = \underset{\ell}{\operatorname{argmin}} q_{\ell} = \underset{\ell}{\operatorname{argmin}} Q_{\ell}$$

Grauwertdurchschnitt

$$\theta = \mathcal{E}[\ell | \{q_{\ell}\}] = \sum_{\ell=0}^{L-1} q_{\ell} \cdot \ell$$

Histogramm-Hauptsenken

- das *zentralste* relative Minimum
- das absolute Minimum in $[\ell_1^{\max}, \ell_2^{\max}]$

Maximale Entropie

$\mathcal{H}_{\theta}(\{q_{\ell}\})$ ist definiert als

$$(1 - \lambda_{\theta}) \cdot \mathcal{H}(\{q_{\ell}^{<\theta}\}) + \lambda_{\theta} \cdot \mathcal{H}(\{q_{\ell}^{>\theta}\})$$

mit den unteren/oberen Teilhistogrammen
 $\{q_{\ell}^{<\theta}\}$ und $\{q_{\ell}^{>\theta}\}$

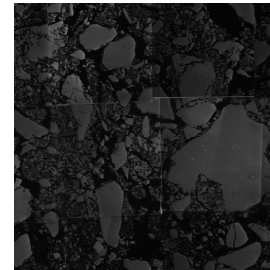
Grauwertmedian

Ein Wert θ mit der Eigenschaft

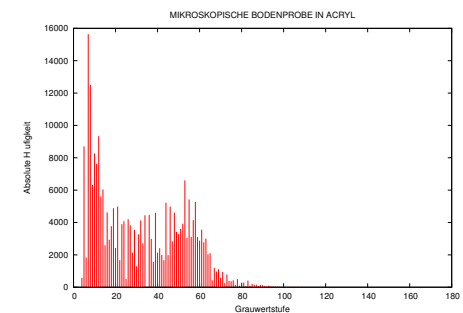
$$\sum_{\ell=0}^{\theta-1} q_{\ell} \leq 1/2 \text{ und } \sum_{\ell=\theta+1}^{L-1} q_{\ell} \leq 1/2$$

Grauerthistogramm

Häufigkeitsstatistik der im Bild auftretenden Grauwerte



Bodenprobe in Acryl



Definition

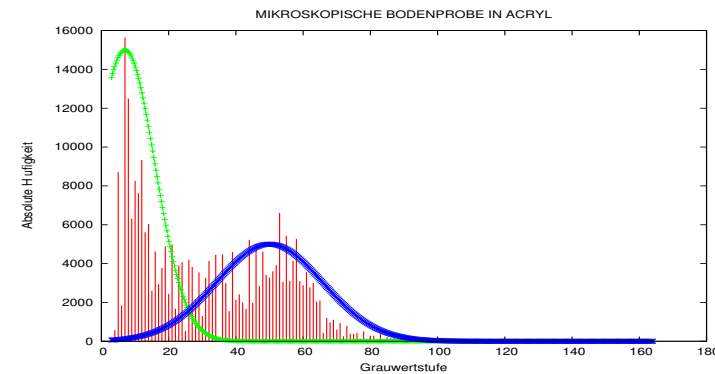
Sei $\mathbf{f} : \mathcal{D} \rightarrow \{0, \dots, L-1\}$ ein Grauwertbild. Das Zahlenfeld $\{Q_{\ell}\}$ mit

$$Q_{\ell} \stackrel{\text{def}}{=} \text{Anzahl der } (j, k) \in \mathcal{D} \text{ mit } f_{jk} = \ell, \quad (0 \leq \ell < L)$$

heißt **absolutes Grauerthistogramm** von \mathbf{f} , das Zahlenfeld $\{q_{\ell}\}$ mit $q_{\ell} = Q_{\ell} / \sum_m Q_m$ heißt **normiertes Grauerthistogramm** von \mathbf{f} .

Gaußsches Mischverteilungsmodell

Grauwerte von Objekt/Hintergrund folgen je einer Normalverteilung



$$\begin{aligned} q(\ell) &= \lambda_u \cdot q_u(\ell) + \lambda_o \cdot q_o(\ell) \\ &= \lambda_u \cdot \mathcal{N}(\ell | \mu_u, \sigma_u^2) + \lambda_o \cdot \mathcal{N}(\ell | \mu_o, \sigma_o^2) \\ &= \lambda_u \cdot \frac{1}{\sigma_u \sqrt{2\pi}} \cdot e^{-\frac{1}{2} \left(\frac{\ell - \mu_u}{\sigma_u} \right)^2} + \lambda_o \cdot \frac{1}{\sigma_o \sqrt{2\pi}} \cdot e^{-\frac{1}{2} \left(\frac{\ell - \mu_o}{\sigma_o} \right)^2} \end{aligned}$$

Intermeans-Algorithmus

Iterative Berechnung des optimalen GMV-Schwellwertes für $\lambda_u = \lambda_o$, $\sigma_u^2 = \sigma_o^2$

(Algorithmus)

0 Wähle θ_0 beliebig (z.B. Mittelwert); setze $r = 0$

1 Berechne unteren und oberen Grauwertdurchschnitt:

$$\mu_r^< = \sum_{\ell=0}^{\theta_r-1} q_\ell \cdot \ell \bigg/ \sum_{\ell=0}^{\theta_r-1} q_\ell \quad \text{und} \quad \mu_r^> = \sum_{\ell=\theta_r}^{L-1} q_\ell \cdot \ell \bigg/ \sum_{\ell=\theta_r}^{L-1} q_\ell$$

2 Berechne neue Grauwertschwelle

$$\theta_{r+1} = \frac{\mu_r^<}{2} + \frac{\mu_r^>}{2}$$

3 Abbruch oder Schritt (1)

(sumfstieg(A))

Bemerkung

Der Intermeans-Algorithmus ist ein sehr einfacher Spezialfall der Mischverteilungsidentifikation mittels EM-Prinzip ('*expectation-maximization*').

Sonstige Mustercodierverfahren

Lauflängencodierung

Es werden Paare der Art (Grauwert, Dauer) angegeben. (Binärbilder!)

Differentielle Codierung

Statt der f_j werden die Differenzen $f_j^\Delta = f_j - f_{j-1}$ quantisiert.
(hohe Abtastfrequenz → kleine f_j^Δ)

Transformationscodierung

Die Abtastfolge \mathbf{f} wird durch das Ergebnis einer Reihenentwicklung $\mathbf{f}' = \mathbf{A}\mathbf{f}$, $\mathbf{A} \in \mathbb{R}^{(M \times N)}$, repräsentiert.

Vektorquantisierung

Statt skalarer Abtastwerte f_j werden komplette Vektoren (f_j, \dots, f_{j+s}) auf Quantisierercodewörter abgebildet.

Fraktale Codierung

Eine (affine) Selbstähnlichkeit der Abtastfolgen wird ausgenutzt:

$\mathbf{f} \mapsto (\mathbf{A}, \mathbf{b})$ mit $\mathbf{f} = \mathbf{A}\mathbf{f} + \mathbf{b}$ und dem Fixpunktdecoder $\mathbf{f}_n = \mathbf{A}\mathbf{f}_{n-1} + \mathbf{b}$

Aufgabenstellung

Schallwellen — Geräusch, Klang, Sprache

Licht und Farbe

Abtastung

Quantisierung

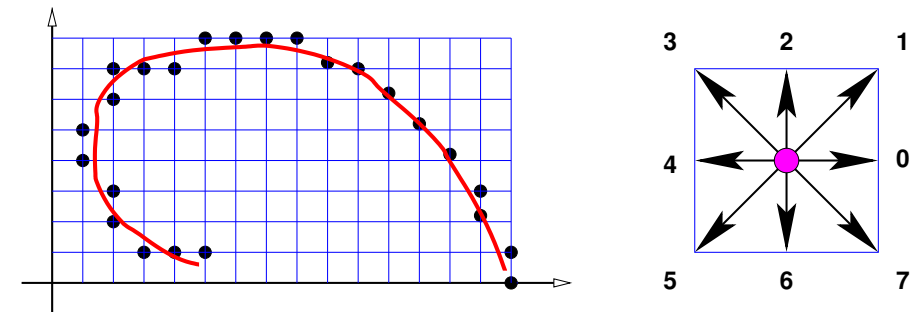
Binarisierung

Sonstige Codierer

Mathematische Hilfsmittel

Kettencode ('Freeman code')

Codierung von Linienmustern oder Konturen (Objektumrissen)



(Kontur-)Linienrasterpunkte

werden durch die Folge ihrer *Richtungselemente* codiert.

Beispiel

Obiges Linienmuster wird durch den Kettencode

4 4 3 2 3 2 1 2 0 0 1 0 0 0 7 0 7 7 7 7 6 7 6

verschlüsselt.

Aufgabenstellung

Schallwellen — Geräusch, Klang, Sprache

Licht und Farbe

Abtastung

Quantisierung

Binarisierung

Sonstige Codierer

Mathematische Hilfsmittel

Kontinuierliche Fouriertransformation

Spezialfall: reellwertige Funktionen $f : \mathbb{R} \rightarrow \mathbb{R}$

Definition

Eine Funktion $f : \mathbb{R} \rightarrow \mathbb{R}$ heißt **gerade**, wenn für alle $x \in \mathbb{R}$ die Aussage $f(-x) = f(x)$ gilt. Sie heißt **ungerade**, wenn für alle $x \in \mathbb{R}$ die Aussage $f(-x) = -f(x)$ gilt.

Bemerkung

$\cos(x)$ ist gerade, $\sin(x)$ ist ungerade, die Gerade $f(x) = a \cdot x$ ist ungerade.

Lemma

Jede Funktion $f : \mathbb{R} \rightarrow \mathbb{R}$ lässt sich eindeutig in eine Summe aus geradem und ungeradem Anteil zerlegen; wähle

$$f_g(x) \stackrel{\text{def}}{=} \frac{f(x) + f(-x)}{2} \quad \text{und} \quad f_u(x) \stackrel{\text{def}}{=} \frac{f(x) - f(-x)}{2}.$$

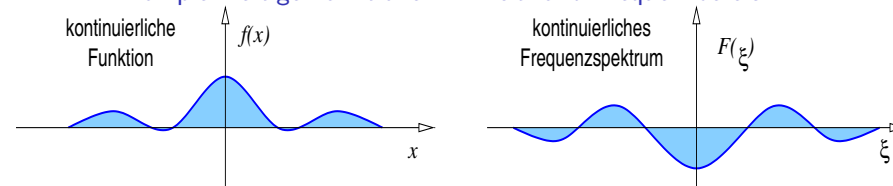
Folgerung

Für reellwertige Funktionen lauten die speziellen Gleichungen der Fouriertransformation:

$$f(x) = \frac{1}{2\pi} \int_{-\infty}^{+\infty} (A_\xi \cos(\xi x) + B_\xi \sin(\xi x)) d\xi \quad \text{und} \quad \begin{cases} A_\xi = \int f(x) \cos(\xi x) dx \\ B_\xi = \int f(x) \sin(\xi x) dx \end{cases}$$

Kontinuierliche Fouriertransformation

Komplexwertige Funktionen im Zeit- und Frequenzbereich^[7]



Satz (Fourierintegrale)

Wenn $f : \mathbb{R} \rightarrow \mathbb{C}$ die Dirichletbedingungen erfüllt und das Integral $\int_{-\infty}^{+\infty} |f(x)| dx$ konvergiert, dann gilt für f die folgende Darstellung:

$$f(x) = \frac{1}{2\pi} \int_{-\infty}^{+\infty} F(\xi) \cdot e^{i\xi x} d\xi$$

$$F(\xi) = \int_{-\infty}^{+\infty} f(x) \cdot e^{-i\xi x} dx$$

Bemerkung

Die Funktion $F : \mathbb{R} \rightarrow \mathbb{C}$ heißt **Fouriertransformierte** von f , die zweite Gleichung des Satzes ist die **Hintransformation**, die erste Gleichung die **Rücktransformation**.

Rechenregeln für Fouriertransformierte

Zeitbereich — Frequenzbereich

	$f(x)$	$F(\xi)$
Skalierung	$f(ax)$	$\frac{1}{ a } F(\xi/a)$
Verschiebung	$f(x - x_0)$	$e^{-i\xi x_0} F(\xi)$
Symmetrie	$-\frac{1}{2\pi} F(x)$	$f(-\xi)$
Ableitung	$\frac{d^n f(x)}{dx^n}$	$(i\xi)^n F(\xi)$
Faltungssatz	$f \star g$	$F(\xi) \cdot G(\xi)$

Definition (kontinuierliche Faltung)

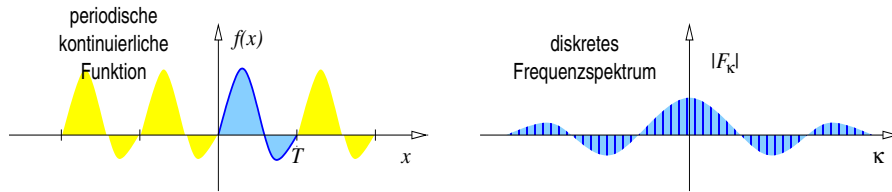
Für zwei Funktionen $f, g : \mathbb{R} \rightarrow \mathbb{C}$ heißt

$$h(x) = \int_{-\infty}^{+\infty} f(\xi) \cdot g(x - \xi) d\xi$$

das **Faltungsintegral**; wir schreiben auch kürzer $h = f \star g$.

Fourierreihen periodischer Funktionen

Komplexwertige Funktionen im Zeit- und Frequenzbereich



Definition (komplexe Fourierreihe)

Besitzt $f : \mathbb{R} \rightarrow \mathbb{C}$ die Periode T und ist $\omega = 2\pi/T$, so heißt

$$\tilde{f}(x) = \sum_{k=-\infty}^{+\infty} F_k \cdot e^{ik\omega x}$$

mit den **komplexen Fourierkoeffizienten**

$$F_k = \frac{1}{T} \int_0^T f(x) \cdot e^{-ik\omega x} dx$$

die **komplexe Fourierreihe** von f .

Umrechnen der Fourierkoeffizienten

Komplexe und reelle Koeffizienten

$$F_k = \begin{cases} a_0/2 & k=0 \\ (a_k - ib_k)/2 & k>0 \\ (a_{-k} + ib_{-k})/2 & k<0 \end{cases} \quad \text{und} \quad \begin{cases} a_k = F_k + F_{-k} \\ b_k = i \cdot (F_k - F_{-k}) \end{cases}$$

Polare und reelle Koeffizienten

Summe von cos- und sin-Anteilen ist auch durch **Phasenverschiebung** darstellbar:

$$a_k \cos(k\omega x) + b_k \sin(k\omega x) = A_k \cdot \cos(k\omega x + \phi_k)$$

mit den Koeffizienten

$$A_k = \sqrt{a_k^2 + b_k^2} \quad \text{und} \quad \tan \phi_k = -\frac{b_k}{a_k}$$

bzw. $a_k = A \cdot \cos \phi_k$ und $b_k = -A \cdot \sin \phi_k$.

Fourierreihen periodischer Funktionen

Reellwertige Funktionen im Zeit- und Frequenzbereich

Definition (reelle Fourierreihe)

Besitzt $f : \mathbb{R} \rightarrow \mathbb{R}$ die Periode T , so heißt

$$\tilde{f}(x) = \frac{a_0}{2} + \sum_{k=1}^{\infty} \{a_k \cos(k\omega x) + b_k \sin(k\omega x)\}$$

mit den **Fourierkoeffizienten**

$$a_k = \frac{2}{T} \int_0^T f(x) \cos(k\omega x) dx \quad \text{und} \quad b_k = \frac{2}{T} \int_0^T f(x) \sin(k\omega x) dx$$

die **Fourierreihe** von f . Dabei bezeichnet $\omega = 2\pi/T$ die zu T gehörende **Kreisfrequenz**.

Konvergenz & Parsevalsche Gleichung

Satz

Ist die periodische Funktion f beschränkt und erfüllt die Dirichlet-Bedingungen, so konvergiert ihre Fourierreihe im Mittel gegen f .

Satz

Für konvergierende reelle (komplexe) Fourierreihen periodischer Funktionen gelten die Gleichungen

$$\frac{2}{T} \int_0^T |f(x)|^2 dx = \frac{a_0^2}{2} + \sum_{k=1}^{\infty} (a_k^2 + b_k^2)$$

$$\frac{1}{T} \int_0^T |f(x)|^2 dx = \sum_{k=-\infty}^{+\infty} |F_k|^2$$

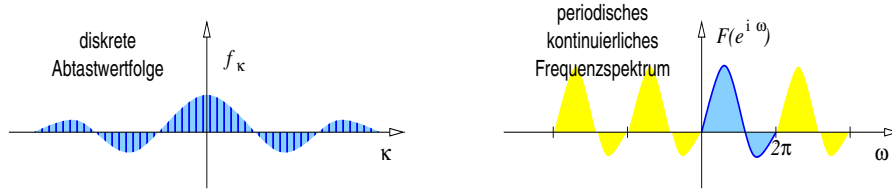
Bemerkung

Periodische Funktionen können also im Konvergenzfall durch ein **diskretes Spektrum** repräsentiert werden.

Die Signalenergie einer Periode kann im **Zeitbereich integriert** werden oder aber im **Spektralbereich summiert**.

Fouriertransformation diskreter Abtastfolgen

f ist diskret genau dann, wenn F periodisch ist



Definition

Ist $f = [f_k]$ eine Abtastwertfolge, so heißt

$$F(e^{i\omega}) = F_\omega = \sum_{k=-\infty}^{+\infty} f_k \cdot e^{-i\omega k}$$

die **Fouriertransformierte** von f und

$$\tilde{f}_k = \frac{1}{2\pi} \int_{-\pi}^{+\pi} F(e^{i\omega}) \cdot e^{i\omega k} d\omega$$

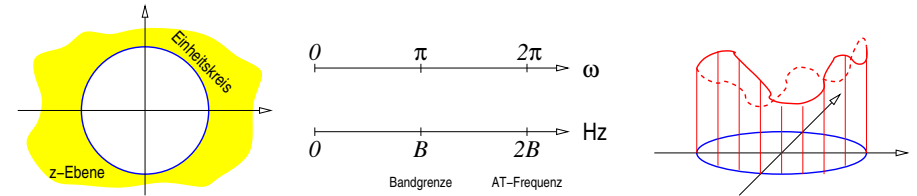
die **Rücktransformierte**; die Summe heißt **Spektralzerlegung** der Folge.

Zusammenfassung (2)

1. Die **Vorverarbeitung** eines Musters besteht aus **Diskretisierung** und **Transformation**.
2. **Schall** ist ein Gemisch aus reinen Sinustönen mit frequenzabhängigem Lautstärkeindruck.
3. **Farbiges Licht** ist ein Gemisch aus monochromen Anteilen mit frequenzabhängigem Helligkeitseindruck.
4. Trotzdem lässt sich jede Farbe **wahrnehmungstreu** durch nur drei **Primärfarbkoordinaten** repräsentieren.
5. Die **Abtastung** eines Musters ist informationsverlustfrei, wenn mindestens mit der doppelten **Nyquistfrequenz** gearbeitet wird.
6. Beim **linearen Quantisierer** verbessert sich der **Signal-Rausch-Abstand** um 6 dB je aufgewendetem Darstellungsbit.
7. Die **Binarisierung** eines Grauwertbildes dient der Trennung von **Objekt** und **Hintergrund**.
8. Die optimale **Grauwertschwelle** wird automatisch auf Grundlage des **Grauerthistogramms** bestimmt.
9. Der **Freeman-Code** wird zur Repräsentation von **Linienmustern** oder Objektkonturen genutzt.

Frequenzband & Einheitskreis

Was bedeuten die komplexen Spektralkoeffizienten F_ω ?



1. Das Spektrum F_ω ist 2π -periodisch
2. Nach Abtastung mit $2B$ Hertz repräsentiert F_ω die Spektralinformation für $\omega \cdot B/\pi$ Hertz
3. Für reellwertige $[f_k]$ sind F_ω , $F_{-\omega}$ konjugiert komplex
4. Die Fourierkoeffizienten sind komplexe Zahlen

$$F_\omega = A_\omega \cdot e^{i\phi_\omega} = |F_\omega| \cdot e^{i \arg F_\omega}$$

5. Reelle Funktionen besitzen bei ω die Schwingungskomponente

$$F_\omega \cdot e^{2i\omega Bx} + F_{-\omega} \cdot e^{-2i\omega Bx} = 2A_\omega \cdot \cos(2B\omega x + \phi_\omega)$$